

Rovnováha v jednosložkové a binární soustavě

The background features a light blue gradient with several overlapping, semi-transparent white and light blue geometric shapes, including triangles and lines, creating a dynamic, abstract pattern.

Obečné odvození Clausius-Clapeyronova rovnice

Taylorův rozvoj

Na ploše $G^g(T, p)$:

$$G(T, p)^g = \mu^g = G^g(T_0, p_0) + \left(\frac{\partial G^g}{\partial p}\right)_T dp' + \left(\frac{\partial G^g}{\partial T}\right)_p dT' + \dots$$

Na ploše $G^l(T, p)$:

$$G(T, p)^l = \mu^l = G^l(T_0, p_0) + \left(\frac{\partial G^l}{\partial p}\right)_T dp'' + \left(\frac{\partial G^l}{\partial T}\right)_p dT'' + \dots$$

Jestliže $[T_0, p_0]$ leží na průnikové křivce G^l a G^g a nový bod $[T, p]$ leží také na ní, platí:

$$G^g(T, p) = G^l(T, p); G^g(T_0, p_0) = G^l(T_0, p_0); \underbrace{dp' = dp''}_{= dp}, \underbrace{dT' = dT''}_{= dT}$$

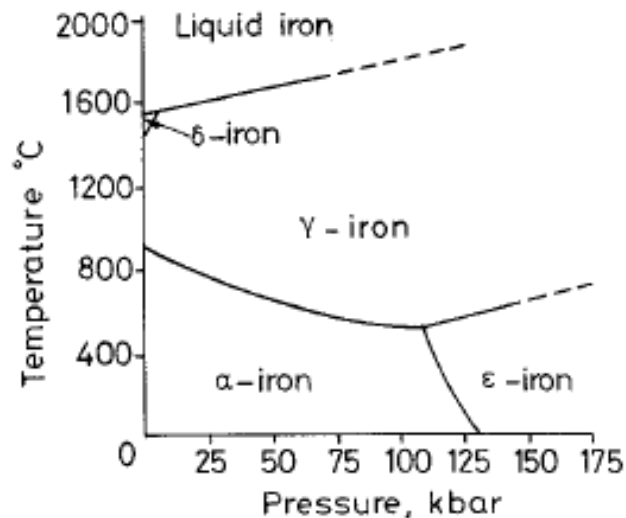
Pak (13)-(14) dá:

$$\left(\frac{\partial G^g}{\partial p}\right)_T dp + \left(\frac{\partial G^g}{\partial T}\right)_p dT = \left(\frac{\partial G^l}{\partial p}\right)_T dp + \left(\frac{\partial G^l}{\partial T}\right)_p dT$$

po úpravách

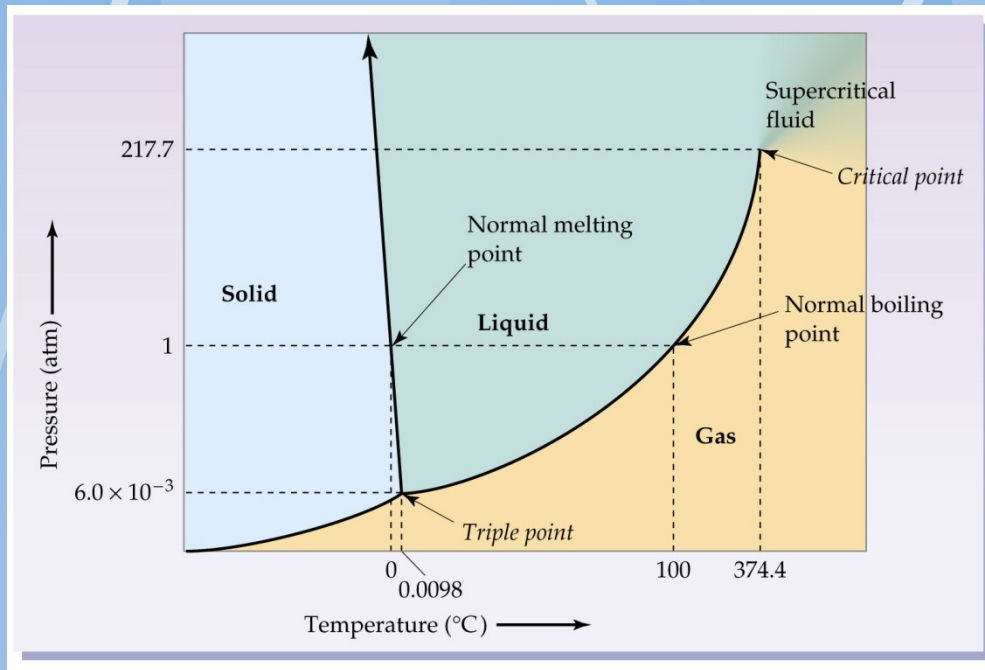
$$\boxed{\frac{dp}{dT} = \frac{\left(\frac{\partial G^g}{\partial T}\right)_p - \left(\frac{\partial G^l}{\partial T}\right)_p}{\left(\frac{\partial G^g}{\partial p}\right)_T - \left(\frac{\partial G^l}{\partial p}\right)_T} = \frac{s^g - s^l}{v^g - v^l} = \frac{\Delta S_m^{g \rightarrow l}}{\Delta V_m^{g \rightarrow l}} = \frac{\Delta H_m^{g \rightarrow l}}{T \Delta V_m^{g \rightarrow l}}}$$

• platí obecně pro jakýkoliv fázový přechod

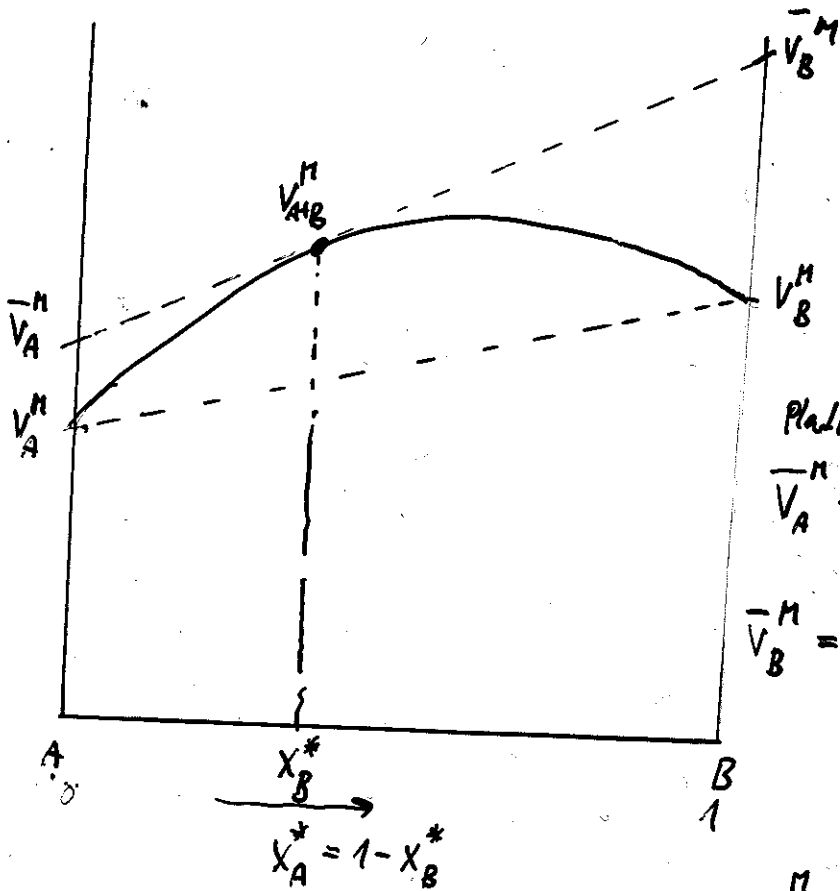


ApL. na id. plyn (zanedbání V_m kond. fáze + stavová rovnice):

$$\frac{d \ln p}{dT} = \frac{\Delta H_{vap}}{RT^2} \quad \Rightarrow \quad \ln \frac{p_2}{p_1} = \left(\frac{1}{T_1} - \frac{1}{T_2} \right) \cdot \frac{\Delta H_{vap}}{R}$$



Parciální veličiny



$$V_{A+B}^M = X_A^* \cdot \bar{V}_A^M + X_B^* \cdot \bar{V}_B^M$$

Plati:

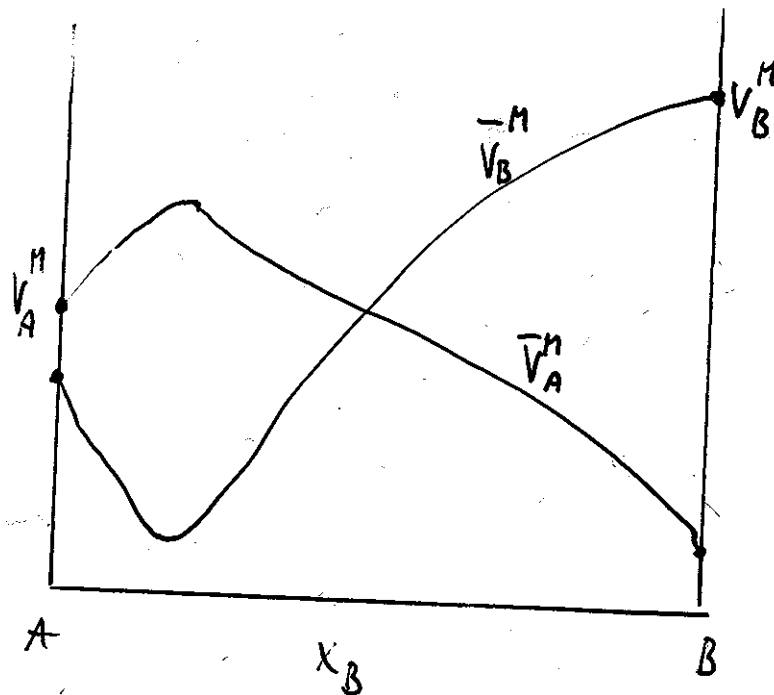
$$\bar{V}_A^M = V_{A+B}^M + \left(\frac{dV_{A+B}^M}{dX_A} \right) \cdot X_B^*$$

$$\bar{V}_B^M = V_{A+B}^M + \left(\frac{dV_{A+B}^M}{dX_B} \right) \cdot X_A^*$$

$$V_{A+B}^M = X_A^* \cdot \bar{V}_A^M + X_B^* \cdot \bar{V}_B^M$$

Realný parciální objem H₂O- etanol

$$V_{A+B}^M = X_A^* \cdot \bar{V}_A^M + X_B^* \cdot \bar{V}_B^M$$



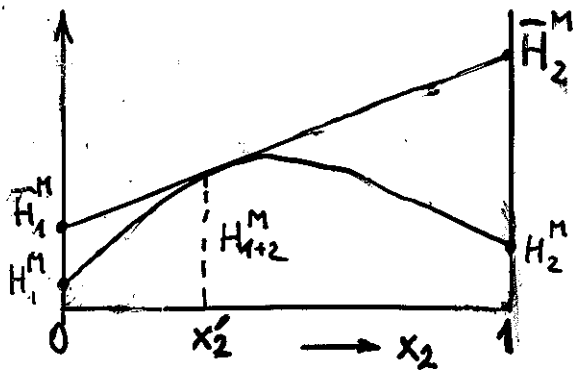
Gibbsova Dehemova rovnice

$$\begin{aligned} \Phi &= \sum x_i dV_i^M = \\ \Phi &= X_A^* dV_A^M + X_B^* dV_B^M \end{aligned}$$

Oduzání Atkins kap. 8.1
vyd. 1982

Parciální hodnoty TD funkcí

Vztah parciálních a integrálních molárních veličin:



$$\bar{H}_1^M = H_{1+2}^M + \left(\frac{dH_{1+2}^M}{dx_2} \right) \cdot x_2'$$

$$\bar{H}_2^M = H_{1+2}^M + \left(\frac{dH_{1+2}^M}{dx_2} \right) \cdot x_1'$$

$$H_{1+2}^M = x_1' \cdot \bar{H}_1^M + x_2' \cdot \bar{H}_2^M$$

platí i pro další TF: U, G, A, S
a též i jejich molární hodnoty

Tlak par nad jednosložkovou soustavou - odpaření

V_1
 Vacuum
 $p_g = 0$
 i. látka p_l
 T_1
 $p_g < p_l \Rightarrow$

$Q = \Delta H_{vyp}$
 V_2
 rovnov. tlak látky
 p_g'
 i. látka p_l'
 T_2
 $p_g' = p_l'$

mají $T_1 = T_2$ pak je třeba dodat teplo
 předpoklad: $V_1 = V_2$
 k diskusi: $V_2 \rightarrow \infty$
 ~~$p_g' = p_l'$~~
 Diagramy: představa: soustavy pod pístem p, T
 - sáček igelitový

Magnetický příspěvek

$$G^s(\text{magn.}) = G^{\text{hemag}} + G^{\text{mag}}$$

Hillert & Jantl

$$G^{\text{mag}} = RT \cdot \ln(\beta_0 + 1) \cdot g(z)$$

$$z = \frac{T}{T^*}$$

$$T^* = T_N \quad \text{nebo} \quad = T_C$$

Neelova T

Curie T

β_0 mag. moment.

Chemický potenciál

= je totéž co partiální molární Gibbsova energie

$$\mu_A = \bar{G}_A = \left(\frac{\partial G_{\text{celk}}}{\partial n_A} \right)_{T, p, n_i \neq A} \stackrel{\frac{1}{n_A}}{\stackrel{\frac{1}{n_A}}{=}} \left(\frac{\partial G_{\text{celk}}^m}{\partial X_A} \right)_{T, p, X_i \neq A} \quad (*)$$

Aplikace:

a, Čistá látka:

$$\mu_A^j = G_{A,j}^m \leftarrow \begin{array}{l} \text{molární} \\ \text{struktura fáze } j \end{array}$$

b, Směs id. plynů:

$$\begin{aligned} G_m^{\text{celk}} &= \sum_i x_i G_i^0 = T \cdot \Delta S_{\text{mix}} \\ &= \sum_i x_i G_i^0 + RT \cdot \sum_i x_i \ln x_i \end{aligned}$$

viz klasická
termodynamika

dle vztahu (*)

$$\mu_A^g = \mu_A^0 + RT \ln x_A$$

$$x_A = \frac{n_A}{n_c}$$

c, Neideální směs

$$a_A = f_A \cdot x_A$$

$$\mu_A^i = \mu_A^0 + RT \ln f_A \cdot x_A$$

Gibbsova energie fáze

$$G = H - TS$$

\uparrow \nearrow
 viz výše

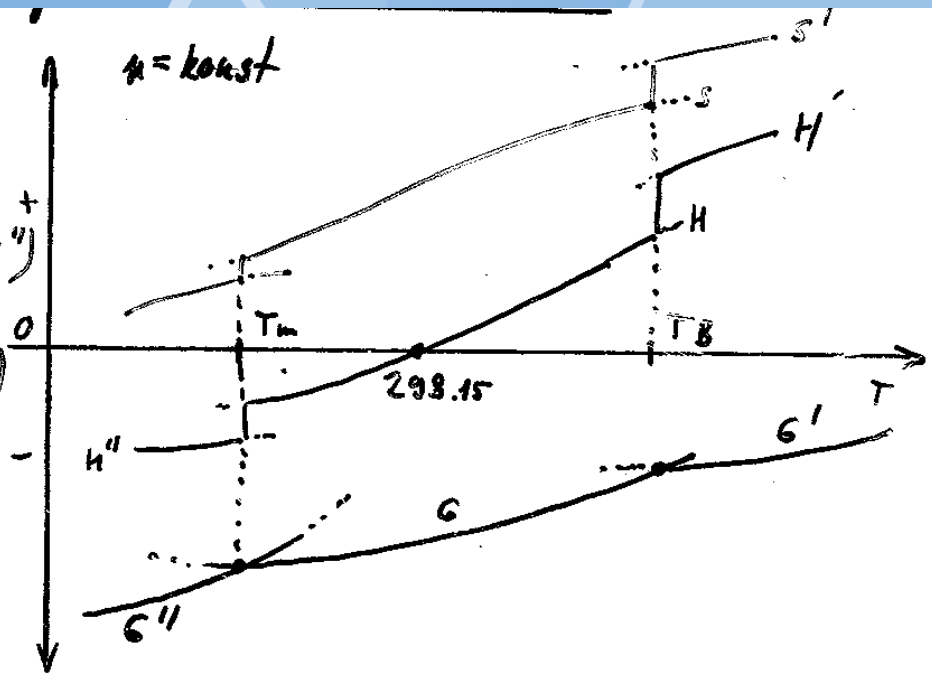
stavuti:

$n = \text{konst}$

$$T = T_m : G = G'' \quad (H + T_m S = H'' + T_m S'')$$

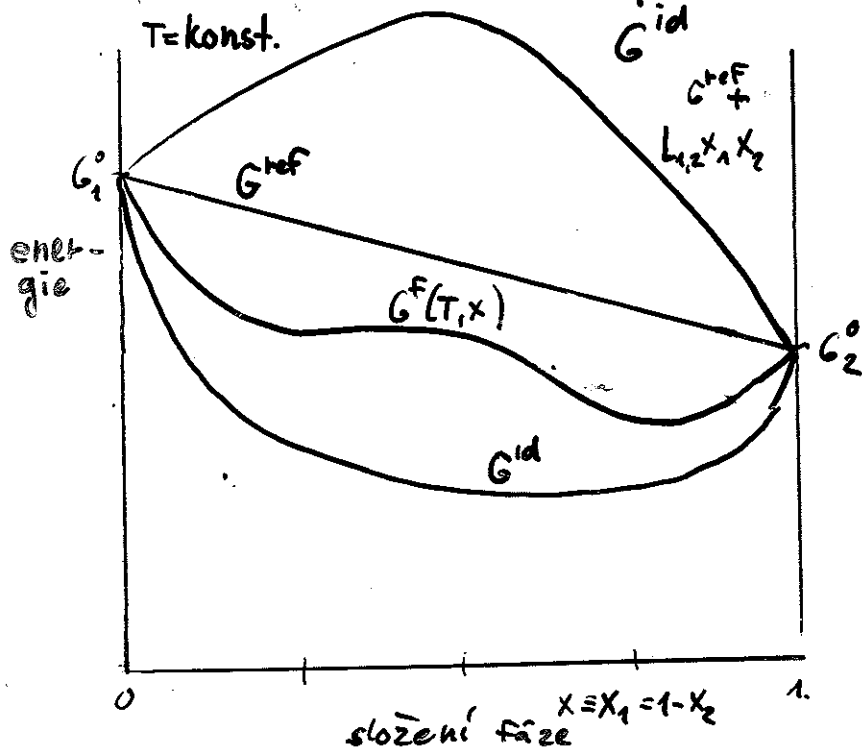
$$T = T_B : G = G' \quad (H + T_B S = H' + T_B S')$$

$$G = G_T + G_{\text{mag}} + G_{\text{pks.}}$$



Fáze o dvou složkách (užit regulární model fáze):

$$G^F(T, x_1, x_2) = \underbrace{x_1 G_1^0 + x_2 G_2^0}_{G^{\text{ref}}} + \underbrace{RT \cdot (x_1 \ln x_1 + x_2 \ln x_2)}_{-T \Delta S^{\text{id}}} + \underbrace{L_{1,2} \cdot x_1 \cdot x_2}_{G^E} \quad (1)$$



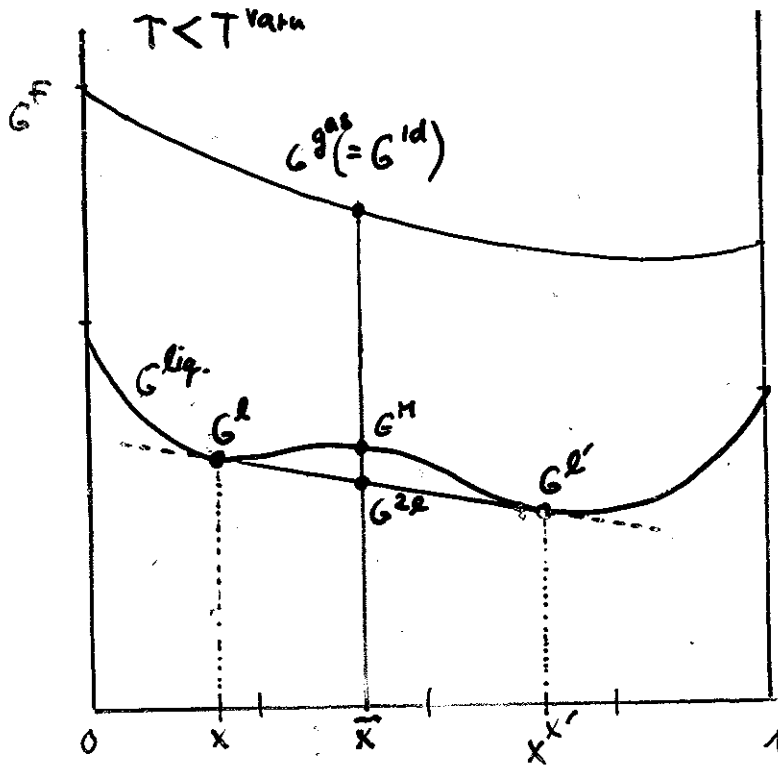
Pro určitý obob $L_{1,2}$ funkce $G^F(T, x)$ vykazuje 2 inflexní body:

$$\left(\frac{\partial^2 G}{\partial x^2} \right)_T = 0 \quad (2)$$

v př. asymetrichosti:

$$L_{1,2} = (L_{1,2}^0 + L_{1,2}^1 (x_2 - x_1)) \quad (3)$$

Odmíšení



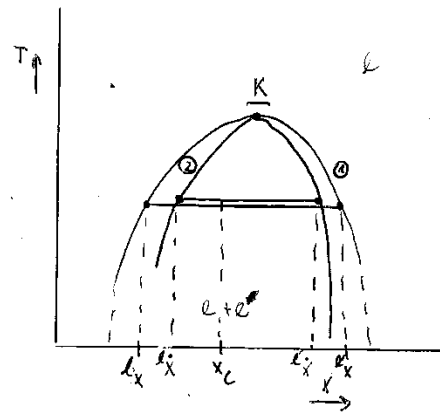
$G^g > G^H > \underline{\underline{G^{2L}}}$
 meta stab. stavy stabilní stav

$$G^{2L} = n^L \cdot G^L + n^{L'} \cdot G^{L'} \quad (4)$$

$$1 = n^L + n^{L'} \quad (5)$$

ze zákona zachování hmoty (pákové pravidlo):

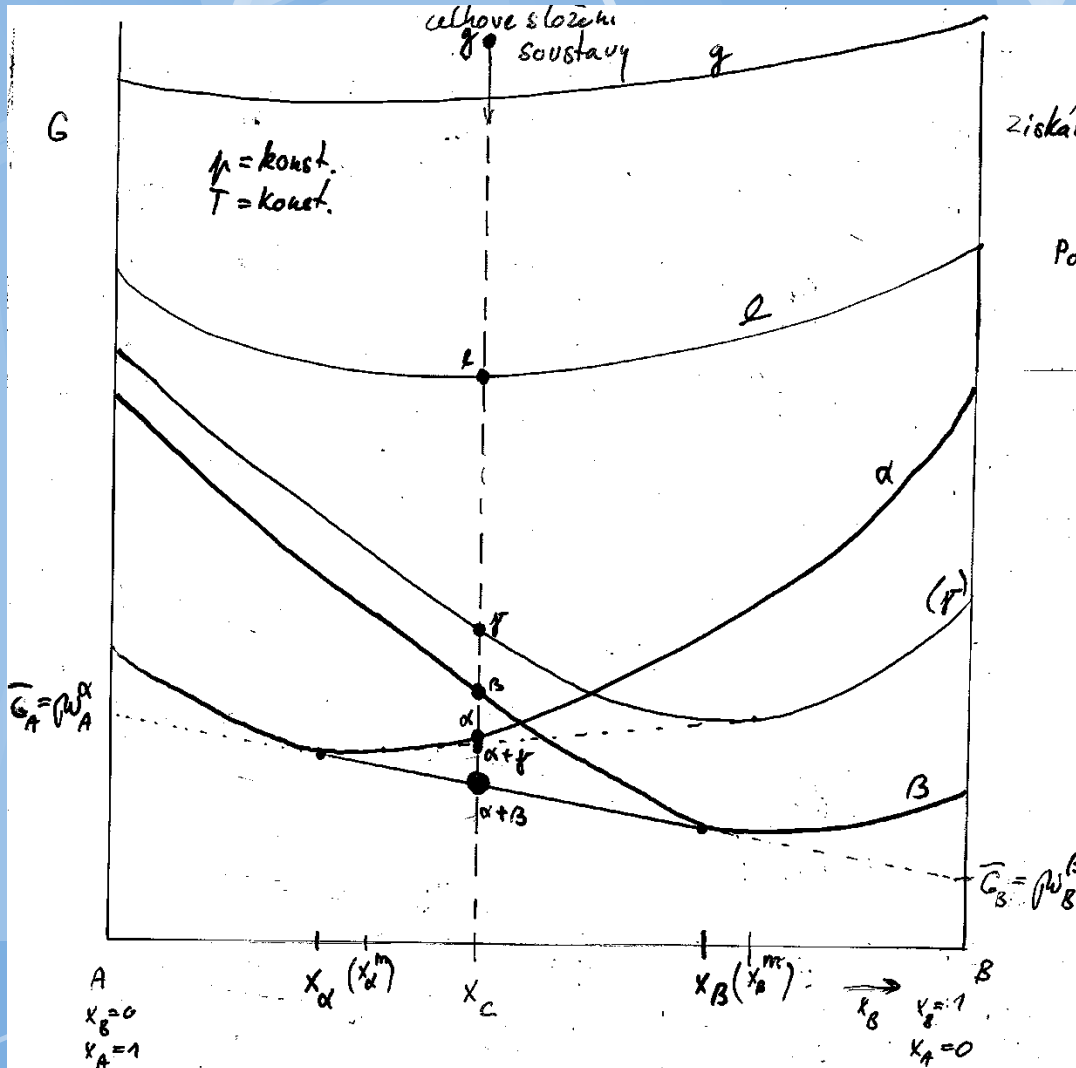
$$n^L = \frac{x' - \bar{x}}{x' - x} \quad (6)$$



$x^L \neq x^R$ $x^L \neq x^R$
 (s výjimkou bodu K)

- ① Hranice fázových oblastí je geom. místem bodů složených z korecí tie-lines (x^L, x^R)
- ② Spinodální křivka je geom. místem bodů složených z spinod (x^L, x^R)

Termodynamické důvody vzniku fázové rovnováhy

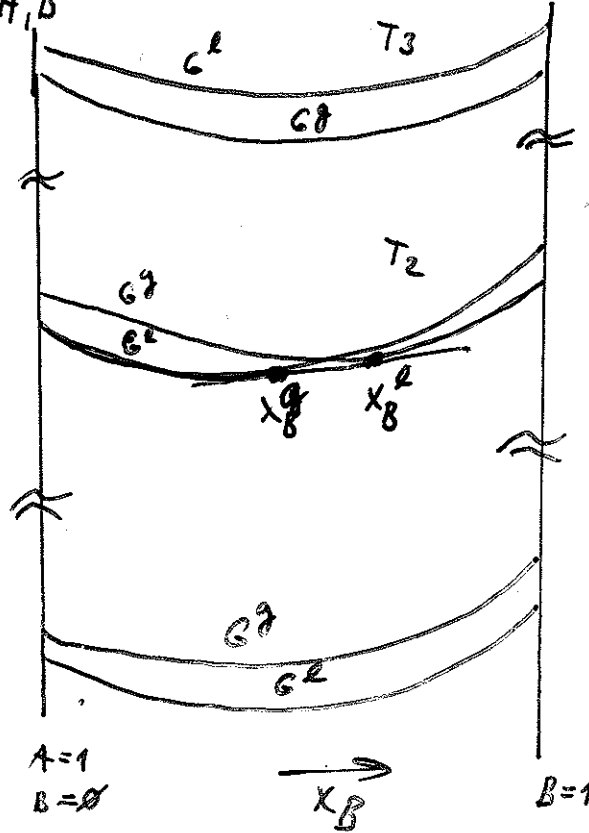
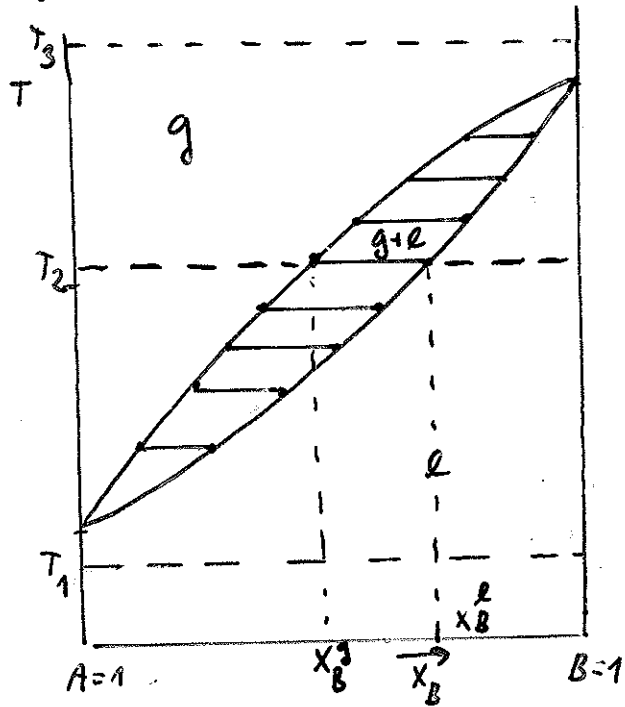


Získání řešení: Integrální podm. FR min G_c hledání
 Diferenciální podm. FR $\mu_i^A = \mu_i^B$ (i=1,2)
 (řešení soustavy rovnic s podmínkami)

- Podmínky:
- zákon zachování hmoty
 - stechiometrie
 - neutralita (zachování náboje)

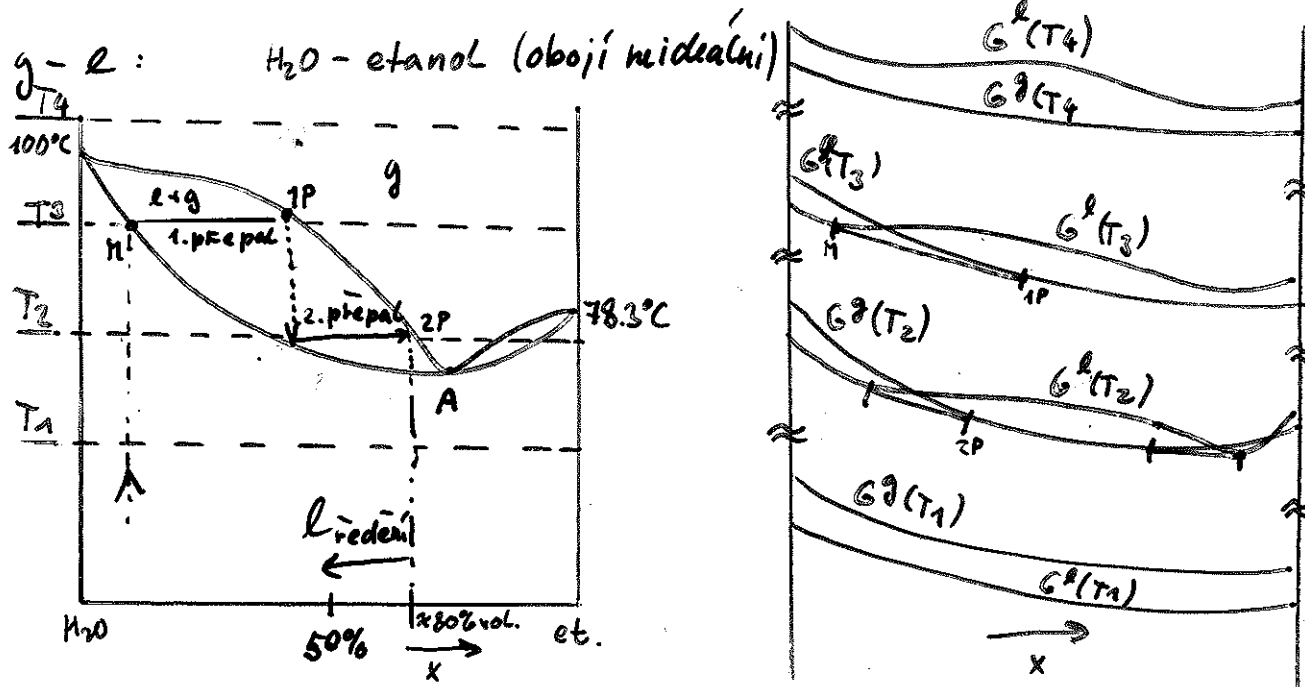
Ideální binární FR

g (ideální) - l (neideální) složky A, B



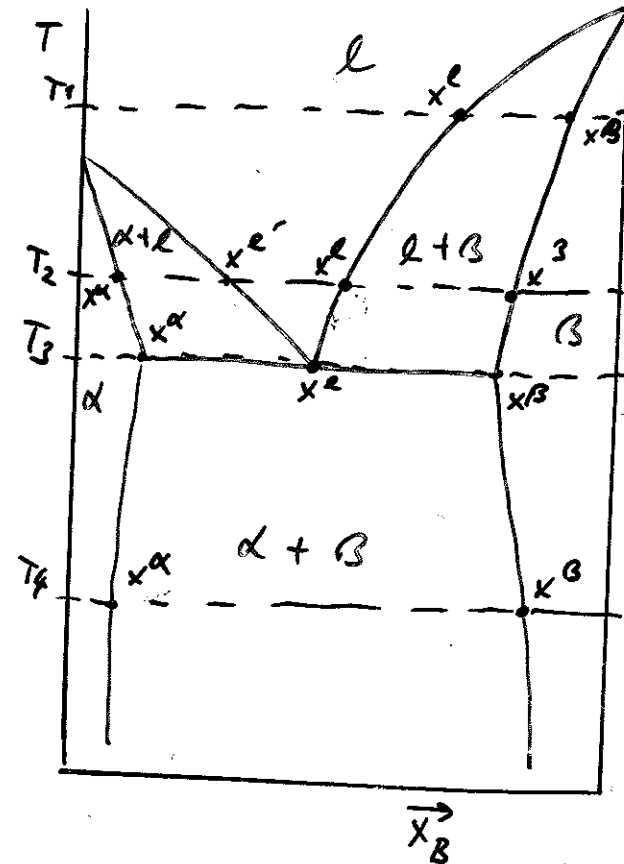
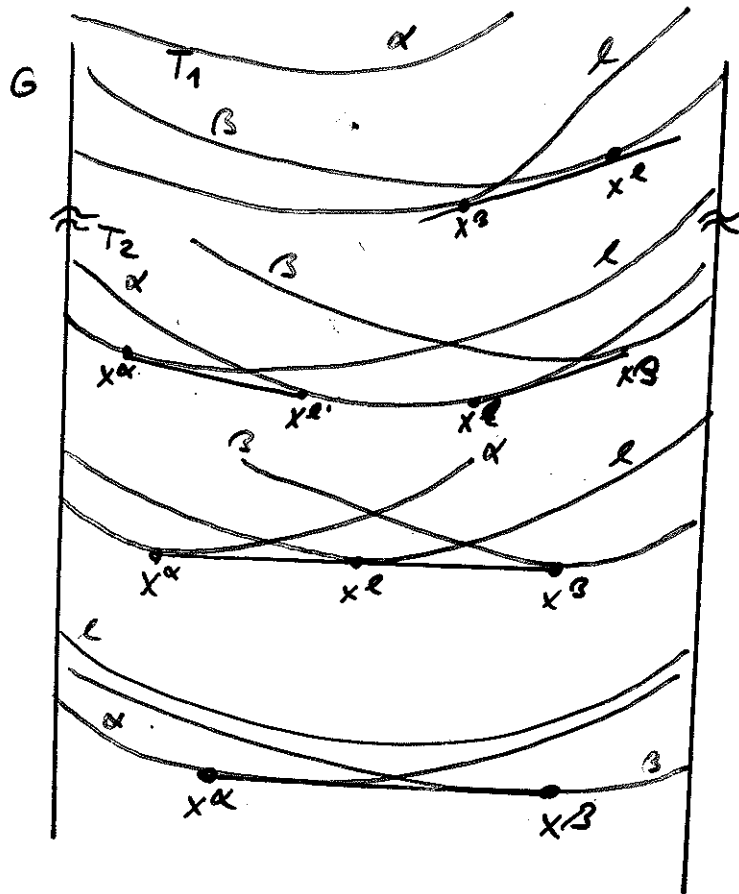
- Závěry:
1. pro úplnou separaci je třeba do destilací
 2. Pokud má diagram extrém (azeotrop) získáme destilací čistou složku + azeotrop
 3. Destilace "z baňky do baňky" nestačí k úplné separaci složek. Složení destilátu závisí na množství směsi

Binární FR

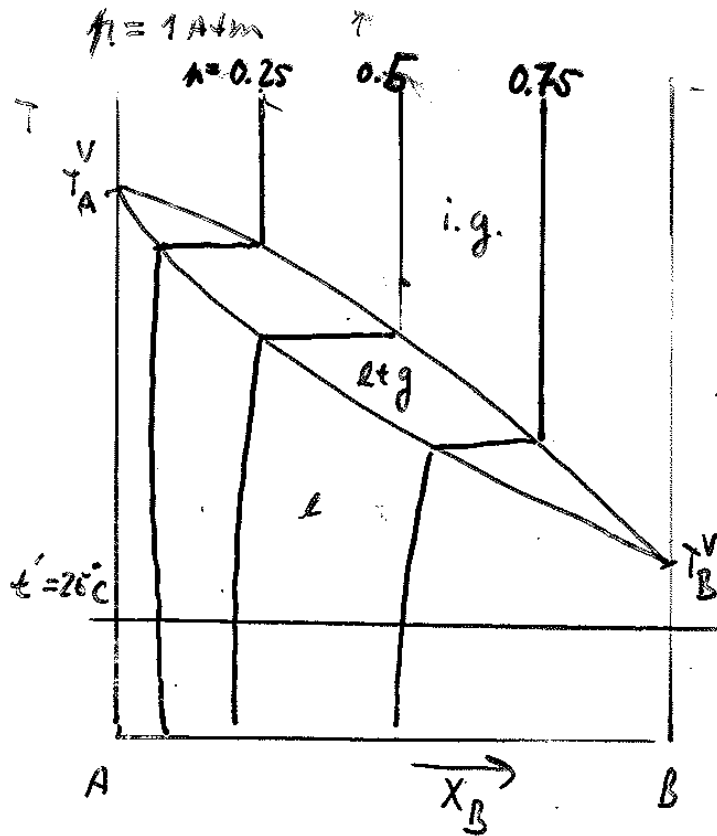


Třífázová rovnováha v binární soustavě

tuhé fáze se vzájemnou omezenou rozpustností složek



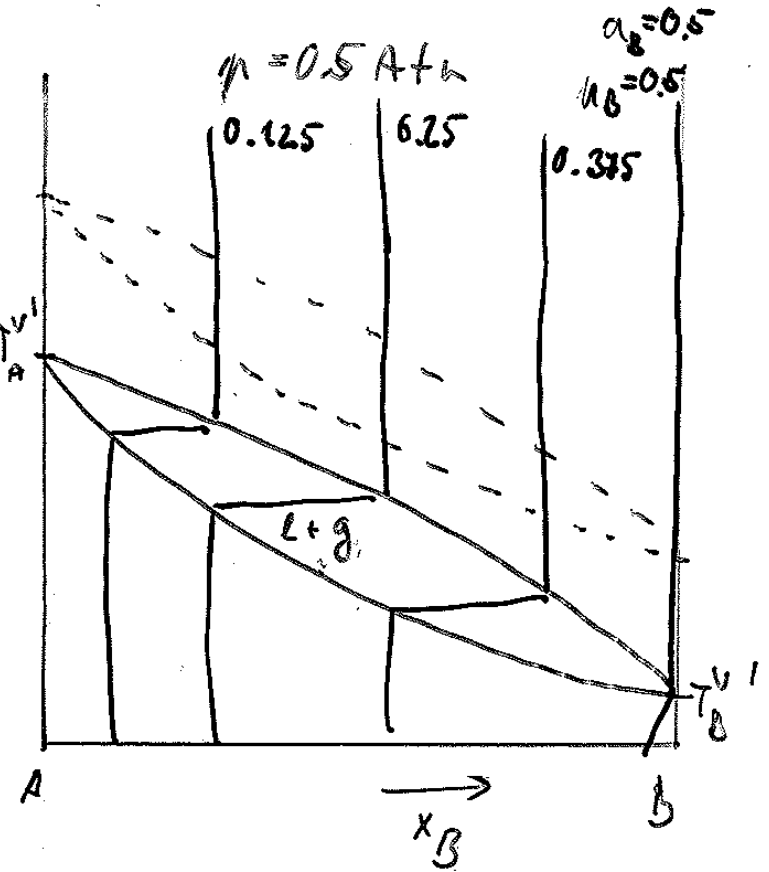
Ravnováha l-g a vnější tlak



$p = 0.5 \text{ atm}$
 $(p < 1 \text{ atm})$

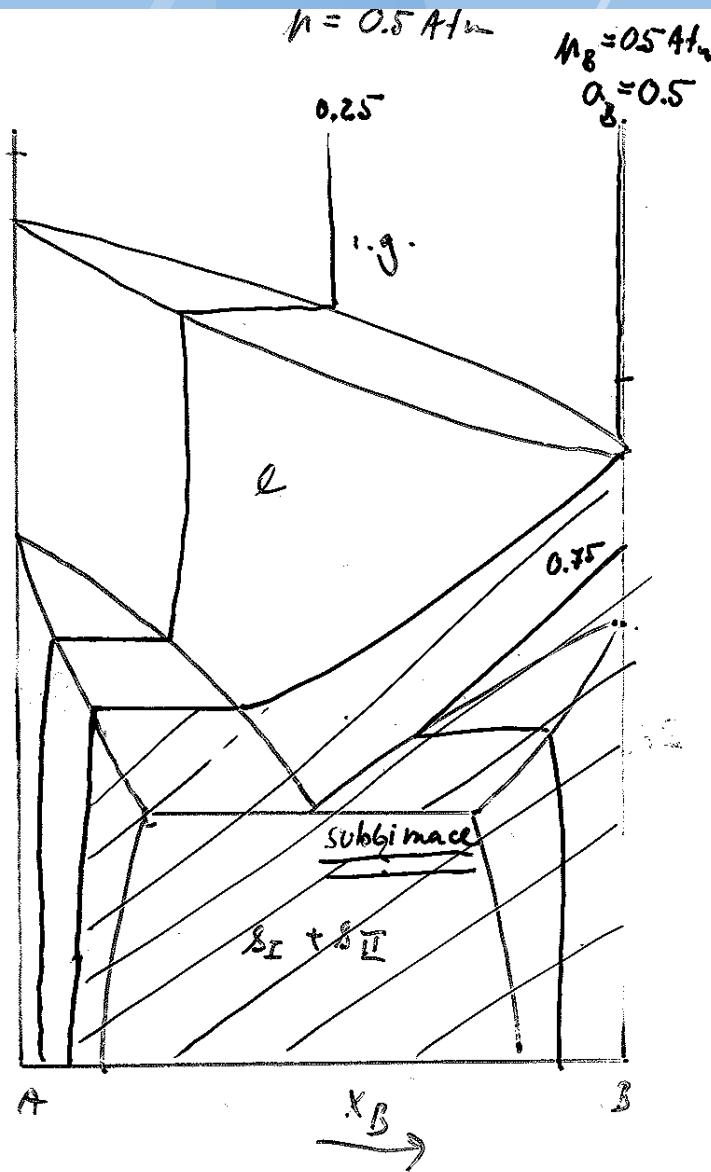
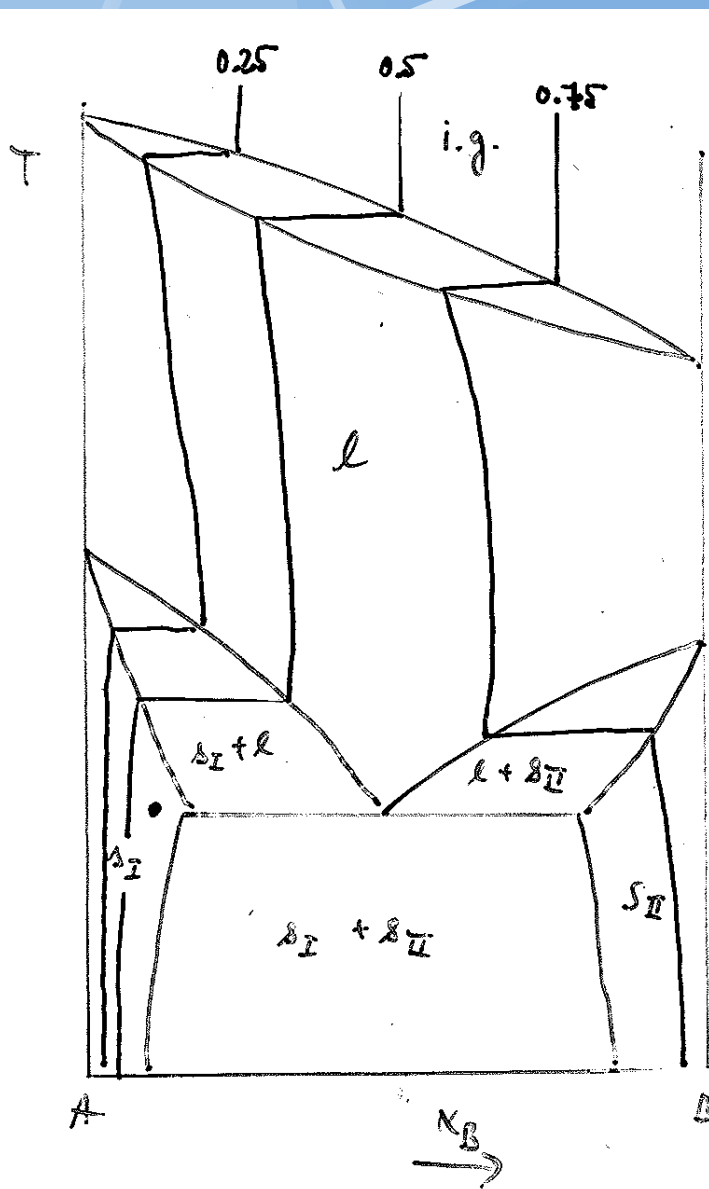


$\downarrow P_{\text{ext}}$

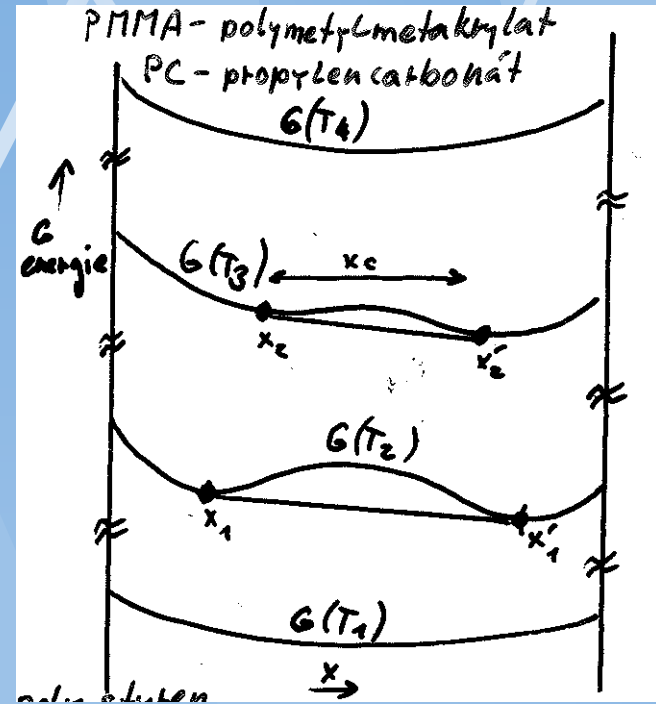
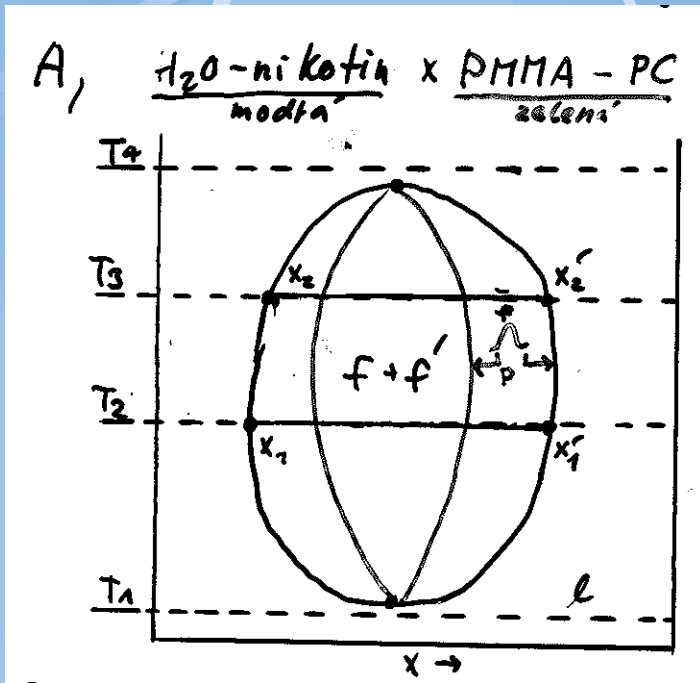


slož. chování
 v kondenz. fázi...

$p = 1 \text{ atm}$

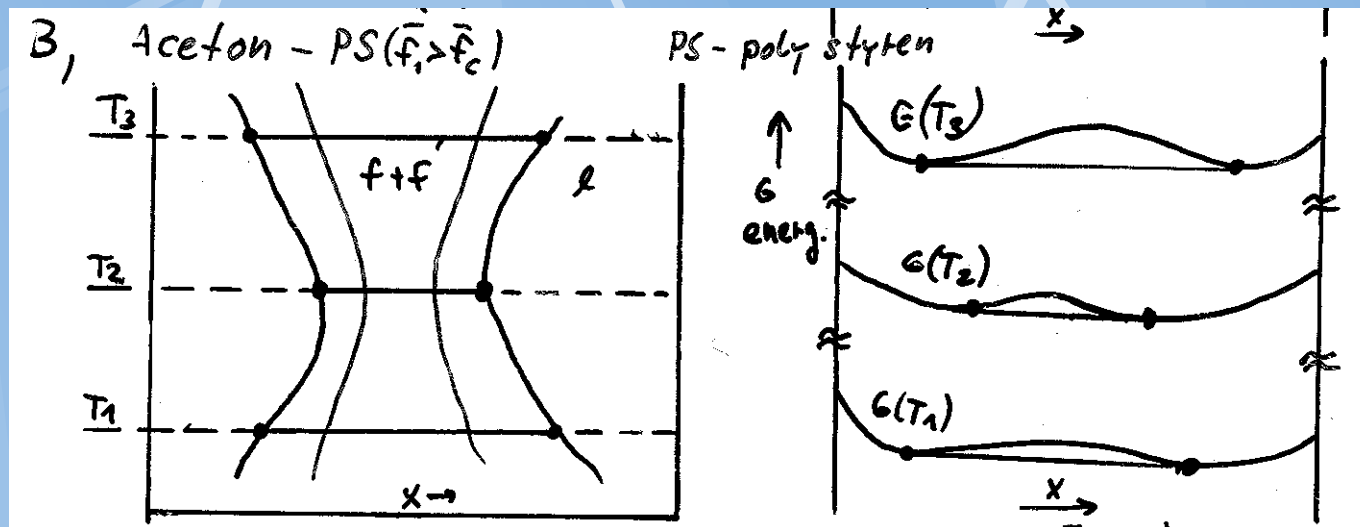


FR polymerů



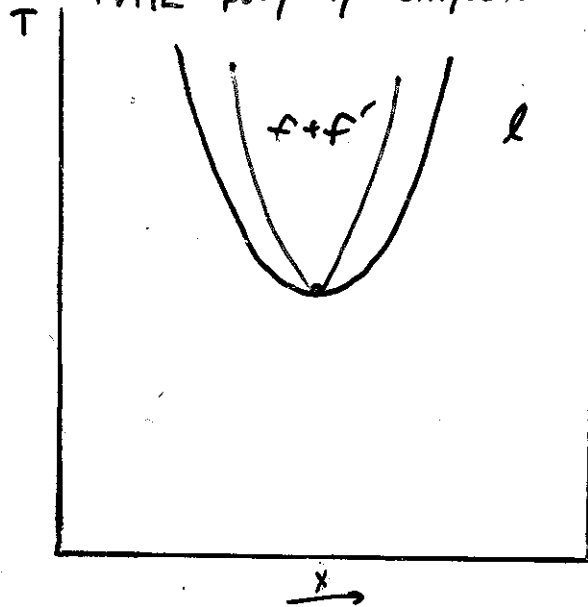
θ diagram

χ diagram

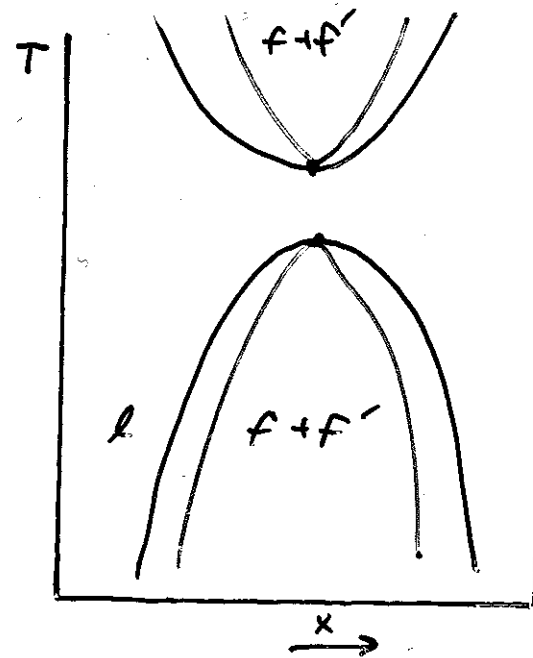


FD s horní a dolní kritickým bodem

C, H_2O - triethylamin x PVME - PS
PVME - polyvinylmethylether



D, Aceton - PS ($f_2 < f_c$)



FD reálných binárních soustav

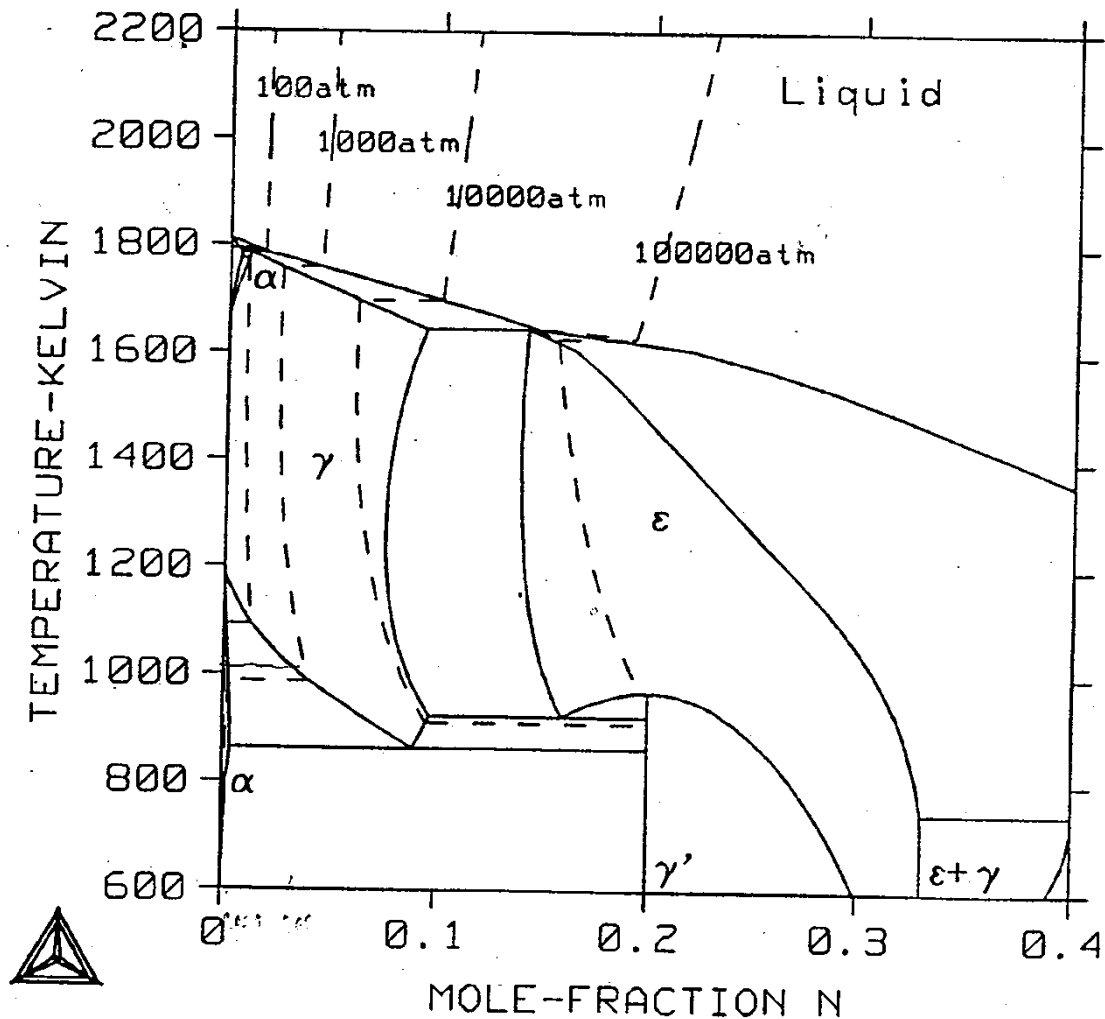


Fig.16. The calculated Fe-N phase diagram.

Experimentálně měřitelná termodynamická data

A, Měřitelné termodynamická data:

- měrná tepla ($C_V = \left(\frac{\partial U}{\partial T}\right)_V$, $C_P = \left(\frac{\partial H}{\partial T}\right)_P$ - mimo $T_{\text{fáz. př.}}$)
 - latentní tepla fázových přeměn
 - reakční a směšovací tepla
 - koeficienty délkové a objemové roztažnosti
 - rovnovážné konstanty chemických reakcí, EMN článků.
 - teze páry,
- } kalorimetrie

B, Fázová data

- rozpustnosti
- chemické složení fází v rovnováze (
- podíly fází
- aktivity složek (parciální tlaky složek)

Základní názvosloví fázových diagramů

Fázový diagram: geometrické znázornění fázových dat (fázových oblastí, hranic, ...) soustavy v závislosti na vnějších proměnných (p, T) a složení soustavy.

Fázový diagram znázorňujeme obvykle jako 2D tězy (konst.: $p, T, x_i, x_i/x_j, \dots$)

Označování: př.: A-B-C-D ($n = \dots, T = \dots, x_B/x_C = \dots$)

Fázová oblast: geometrické místo bodů (oblast) fázového diagramu, v níž se nemění počet fází

Označování: př.: $(s+l), (\alpha+\beta+M_3C), (l+l'), \dots$

Hranice fázové oblasti: geom. místo bodů (hranice), která odděluje různé fázové oblasti.

Označování: př.: $b/(s+l), \alpha/(\alpha+\beta), l'/(l+l'), (\alpha+l)/(\alpha+\beta+l), \dots$

Tie-angle: Geometrický útvar, který vznikne nejméně třemi spojeními bodů o souřadnicích daných chem. složením, p a T koexistujících fází. Tie-line (konoda), Tie-triangle, Tie-square, ...

Označování: viz fázové oblasti

Hranice rozpustnosti: geom. místo bodů (hranice), které spojuje body ve fázovém diagramu, jejichž jedna souřadnice udává maximální hodnotu koncentrace zvolené složky aniž by došlo ke vzniku nové koexistující fáze. \equiv vybraná hranice fáz. obl.

Plocha liquidu: geom. místo bodů, které udávají^{te} minimální teplotu jednofázové kapalně fáze.

Plocha solidu: geom. místo bodů, které vyjadřují složení pevné fáze v koexistenci s kapalnou fází.



Diskuse

Anomálie vody : <http://www.lsbu.ac.uk/water/explan4.html>

The heat of fusion of water with temperature exhibits a maximum at -17°C

Water has over twice the specific heat capacity of ice or steam

The specific heat capacity (CP and CV) is unusually high

The specific heat capacity CP has a minimum at 36°

The specific heat capacity (CP) has a maximum at about -45°C

The specific heat capacity (CP) has a minimum with respect to pressure

The heat capacity (CV) has a maximum

High heat of vaporization

High heat of sublimation

High entropy of vaporization

The thermal conductivity of water is high and rises to a maximum at about 130°C